

## บทที่ 4

### ทฤษฎีการแปลงเวฟเล็ต

สัญญาณหรือฟังก์ชันใดๆ สามารถแสดงให้อยู่ในรูปการรวมเชิงเส้น(Linear Combination) ของฟังก์ชันมูลฐาน (Basis Function) ต่างๆ ซึ่งทำให้สามารถทำการวิเคราะห์หรือแก้ปัญหาได้อย่าง สะดวก ตัวอย่างเช่น การใช้ฟังก์ชันซายน์และโคไซน์ (Sine-Cosine Function) เป็นฟังก์ชันมูลฐาน ในการวิเคราะห์ฟูเรียร์ (Fourier Analysis) เป็นต้น การวิเคราะห์เวฟเล็ต (Wavelet Analysis) ก็เป็นการแสดงฟังก์ชันใดๆ ให้อยู่ในรูปการรวมเชิงเส้นของฟังก์ชันมูลฐาน เช่นเดียวกัน แต่ด้วย ลักษณะพิเศษของฟังก์ชันมูลฐานเวฟเล็ต (Wavelet Basis Function) ซึ่งมีลักษณะของการอสัมภை (Oscillation) ตามแกนแนวนอนและแอมป์ลิจูด (Amplitude) ที่ลดลงสู่ศูนย์ทั้งทางด้านบวกและลบ อย่างรวดเร็ว[10] (ต่างกับฟังก์ชันซายน์และโคไซน์ซึ่งแผ่ต่ำตามแกนแนวนอนไปสู่อนันต์) ด้วยคุณ สมบัติดังกล่าว เวฟเล็ตจึงเหมาะสมที่จะใช้ในการวิเคราะห์สัญญาณที่มีลักษณะเปลี่ยนแปลงตามเวลา (Non-Stationary) ลักษณะของความไม่ต่อเนื่อง (Discontinuity) และลักษณะของปลายแหลมคม (Sharp Spike) ได้เป็นอย่างดี[10],[11]เนื่องจากใน โดเมนของเวฟเล็ต (Wavelet Domain) จะประกอบ ไปด้วยสัมประสิทธิ์การกระจาย(Expansion Coefficients) หรือตัวคูณของฟังก์ชันมูลฐานเวฟเล็ตที่มี ขนาดเล็กและลู่เข้าสู่ศูนย์อย่างรวดเร็ว ซึ่งใน โดเมนของฟูเรียร์ (Fourier Domain) ของฟังก์ชันดัง กล่าวจะต้องประกอบด้วยสัมประสิทธิ์การกระจาย หรือตัวคูณของฟังก์ชันซายน์และโคไซน์เป็น จำนวนมากมากถึงอนันต์ การแปลงเวฟเล็ต (Wavelet Transform) จึงเป็นการแปลงที่มีประสิทธิภาพ สูง (เมื่อใช้กับสัญญาณที่มีลักษณะของ Non-Stationary ลักษณะของความไม่ต่อเนื่อง และลักษณะ ของปลายแหลม) และประโยชน์ที่สำคัญอีกประการหนึ่งของการแปลงเวฟเล็ตคือ คุณสมบัติความ เป็น Localization (ต่างจากการแปลงฟูเรียร์ซึ่งเป็นคุณสมบัติ Globalization) กล่าวคือ ความ เปลี่ยนแปลงที่เกิดขึ้นใน โดเมนของเวฟเล็ตจะมีผลกับทำให้เกิดการเปลี่ยนแปลงใน โดเมนเดิม (The Original Domain) เป็นช่วง(Interval)เท่านั้น ซึ่งเป็นผลเนื่องมาจากการวิเคราะห์แบบมัลติเรโซลูชัน (Multiresolution Analysis : MRA)[10] ซึ่งจะกล่าวในรายละเอียดต่อไป

#### 4.1 ทฤษฎีการแปลงของสัญญาณ

ในปริภูมิ  $L^2(R)$  ของContinuous-Time Energy Function การส่ง (Mapping) สัญญาณ  $f(t)$  จาก โดเมนเดิมไปสู่ โดเมนใหม่ (Transform Domain) นิยามด้วยผลคูณสเกลาร์ (Scalar Product) ใน สมการที่ (4.1)

$$\langle f(t) | \sigma(t) \rangle = \int_{-\infty}^{\infty} f(t) \sigma^*(t) dt, \quad f(t) \in L_2(R) \quad (4.1)$$

ถ้ากำหนดให้ฟังก์ชันมูลฐาน  $\sigma(t) = e^{j\omega t}$  หมายถึงการแปลงฟูเรียร์ (Fourier Transform : FT) นั้นเอง ซึ่งนิยามโดยสมการที่ (4.2) นั้นคือสัญญาณ  $f(t)$  ถูกแปลงจากโดเมนของเวลา (Time Domain) ไปสู่โดเมนของความถี่ (Frequency Domain) ซึ่งในโดเมนของฟูเรียร์จะขึ้นกับพารามิเตอร์ ของความถี่ ( $\omega$ ) เท่านั้น ไม่ขึ้นกับพารามิเตอร์ของเวลา ( $t$ ) อีกต่อไป ดังนั้นการเปลี่ยนแปลงที่เกิดขึ้น ที่ตำแหน่งใดๆ ในโดเมนของฟูเรียร์จะมีผลต่ออัตรากวนแปรที่เดียวกันนี้เป็นคุณสมบัติ แบบ Globalization ซึ่งสามารถแก้ไขโดยใช้การแปลงฟูเรียร์แบบแบ่งช่วงเวลา (Short Time Fourier Transform : STFT) นิยามโดยสมการที่ (4.3) โดยกำหนดให้  $\sigma(t) = w(t - \tau) \cdot e^{j\omega t}$  เมื่อ  $w(t)$  คือวินโดว์ฟังก์ชัน (Window Function) และ  $\tau$  เป็นพารามิเตอร์ที่ใช้บอกตำแหน่งของวินโดว์บน แกนเวลา การแปลงฟูเรียร์แบบแบ่งช่วงเวลาเป็นการแปลงฟูเรียร์ของสัญญาณ  $f(t)$  เนพาะส่วนที่ วินโดว์ฟังก์ชัน  $w(t - \tau)$  ครอบไว้ ลักษณะและความกว้างของวินโดว์ฟังก์ชัน  $w(t)$  จะเป็นตัว กำหนดความละเอียดในการวิเคราะห์สัญญาณ วิธีนี้ทำให้การเปลี่ยนแปลงที่เกิดขึ้นในโดเมนของ ฟูเรียร์ ที่ตำแหน่ง  $\tau$  ใดๆ มีผลกับในโดเมนของเวลาเฉพาะส่วนที่วินโดว์ครอบไว้เท่านั้น

$$FT_{f(t)}(\omega) = \langle f(t) | e^{j\omega t} \rangle \quad (4.2)$$

$$STFT_{f(t)}(\tau, \omega) = \langle f(t) | w(t - \tau) \cdot e^{j\omega t} \rangle \quad (4.3)$$

สำหรับการแปลงเวฟเล็ต (Wavelet Transform : WT) นิยามด้วยสมการที่ (3.4) พารามิเตอร์  $a$  และ  $b$  ซึ่งเป็นพารามิเตอร์ที่กำหนดฟังก์ชันมูลฐานขึ้นใหม่โดยการ缩放 (Scaling) และการเดือน (Translation) ไปตามแกนเวลาของฟังก์ชันมูลฐานต้นแบบ Mother Wavelet Function  $\psi(t)$  พารามิเตอร์  $a$  เปรียบเสมือนเป็นตัวกำหนดระดับความถี่ที่ใช้ในการวิเคราะห์สัญญาณ  $f(t)$  ซึ่งเป็น การยืดหรือหดฟังก์ชันพื้นฐานต้นแบบตามแกนเวลา โดยที่ลักษณะของฟังก์ชันหรือรูปร่างของ สัญญาณยังคงเดิม และพารามิเตอร์  $b$  เป็นตัวกำหนดตำแหน่งบนแกนเวลาของฟังก์ชันมูลฐาน เวฟเล็ตที่ใช้ในการวิเคราะห์สัญญาณ  $f(t)$  ดังนั้นจึงกล่าวได้ว่าการแปลงเวฟเล็ตเป็นการแปลงไปสู่ โดเมนของเวลาและความถี่ (Time-Frequency Domain) นั้นคือการเปลี่ยนแปลงที่เกิดขึ้นในโดเมน ของเวฟเล็ตที่缩放  $a$  โดยสามารถที่จะบอกช่วงตำแหน่งที่เกิดการเปลี่ยนแปลงในโดเมนของเวลาได้ ซึ่งเป็นลักษณะของ Localization นั้นเอง

$$WT_{f(t)}(a, b) = \left\langle f(t) \mid \frac{1}{\sqrt{a}} \psi \left( \frac{t-b}{a} \right) \right\rangle \quad (4.4)$$

## 4.2 การวิเคราะห์แบบมัลติเรโซลูชัน

ทฤษฎีการเวฟเล่อ้มีแนวความคิดมาจากการวิเคราะห์แบบมัลติเรโซลูชัน (Multiresolution Analysis : MRA) ซึ่งสามารถใช้ทฤษฎีของพีชคณิตเชิงเส้น (Linear Algebra) อธิบายได้เป็นอย่างดี กล่าวคือในปริภูมิของสัญญาณ  $L^2(R)$  จะปรากฏในปริภูมิย่อย (Subspaces) ของสัญญาณซ้อนทับกันอย่างต่อเนื่องไปดังสมการ

$$V_{-\infty} \subset \dots \subset V_{-2} \subset V_{-1} \subset V_0 \subset V_1 \subset V_2 \subset \dots \subset V_\infty = L^2(R) \quad (4.5)$$

ซึ่ง  $\bigcup_{j=-\infty}^{\infty} V_j$  อยู่กันอย่างหนาแน่น (Dense) ในปริภูมิ  $L^2(R)$  โดยที่  $\bigcap_{j=-\infty}^{\infty} V_j = \{0\}$  (เมื่อ  $\bigcup$  และ  $\bigcap$  หมายถึงการยูนิยนและการอินเตอร์เซกชันตามลำดับ) แต่ละปริภูมิย่อย  $V_j$  จะประกอบไปด้วยฟังก์ชันมูลฐาน (Basis Function) ในลักษณะที่ทำให้จำนวนฟังก์ชันมูลฐานในปริภูมิย่อย  $V_j$  มากขึ้นเป็นสองเท่า (Two Scale Property) เมื่อ  $j$  มีค่าเพิ่มมากขึ้นหนึ่งหรือ

$$f(t) \in V_j \Leftrightarrow f(2t) \in V_{j+1}, \quad j \in Z \quad (4.6)$$

เมื่อ  $Z$  คือเซ็ตของจำนวนเต็มถ้ากำหนดให้ปริภูมิย่อยอ้างอิง  $V_0$  ปรากฏฟังก์ชันมูลฐานต้นแบบ  $\varphi(t)$  (เรียกว่า Scaling Function) กล่าวคือ

$$V_0 = \text{span}_k \{ \varphi(t-k) \}, \quad k \in Z \quad (4.7)$$

จากสมการที่ (3.6) สามารถกำหนดให้ฟังก์ชันมูลฐานสำหรับปริภูมิย่อย  $V_j$  ได้โดยสมการ

$$\varphi_{j,k}(t) = 2^{j/2} \cdot \varphi(2^j t - k), \quad j, k \in Z \quad (4.8)$$

โดยพจน์  $2^{j/2}$  มีเพื่อกำหนดให้คำพังงานของฟังก์ชันมูลฐานทุกๆ ฟังก์ชันในทุกๆ ปริภูมิย่อย  $V_j$  มีค่าเท่ากับหนึ่งเสมอ หรือเป็นการนอร์มัลไลซ์ (Normalized) โดยกำหนดให้  $\|\varphi_{j,k}(t)\| = 1$  เสมอ ฟังก์ชันมูลฐานที่เกิดขึ้นในปริภูมิย่อย  $V_j$  ได้จะมีคุณสมบัติอ่อนร์มัล (Orthonormal Property) กล่าวคือ

$$V_j = \text{span}_k \{ \varphi_{j,k}(t) \}, \quad j, k \in Z \quad (4.9)$$

โดยที่ความสัมพันธ์ระหว่างฟังก์ชันมูลฐานในปริภูมิย่อย  $V_j$  ได้จะแสดงโดย

$$\langle \varphi_{j,k}(t) | \varphi_{j,n}(t) \rangle = \delta_{k,n}, \quad k, n \in Z \quad (4.10)$$

เมื่อ  $\delta_{xy}$  คือ Kronecker-Delta นิยามโดย

$$\delta_{xy} = \begin{cases} 1, & x = y \\ 0, & x \neq y \end{cases} \quad (4.11)$$

ถ้าสมมุติให้  $f(t) \in V_j$  และสามารถแสดงฟังก์ชัน  $f(t)$  ด้วยอนุกรมของ Scaling Function ได้คือ

$$f(t) = \sum_n C_j(n) \cdot \varphi_{j,n}(t), \quad j, n \in \mathbb{Z} \quad (4.12)$$

เมื่อ  $C_j(n)$  คือ Coarse Expansion Coefficients จากสมการที่ (4.10) และ (4.12) สามารถหาค่าของ  $C_j(n)$  ได้จาก

$$C_j(n) = \langle f(t) | \varphi_{j,n}(t) \rangle, \quad j, n \in \mathbb{Z} \quad (4.13)$$

ดังนั้นเมื่อ  $\varphi(t) \in V_0$  และ  $V_0 \subset V_1$  นั่นคือสามารถแสดง Scaling Function  $\varphi(t)$  ในรูปของการรวมเชิงเส้นของ  $\sqrt{2}\varphi(2t-n) \in V_1$  ได้คือ

$$\varphi(t) = \sum_n h(n) \cdot \sqrt{2}\varphi(2t-n), \quad n \in \mathbb{Z}, \quad h(n) \in l^2(\mathbb{Z}) \quad (4.14)$$

เมื่อ  $l^2(\mathbb{Z})$  คือปริภูมิของ Discrete-Time Energy Function ด้วยคุณสมบัติของโอนอร์มัลในสมการที่ (4.10) ดังนั้นค่าสัมประสิทธิ์  $h(n)$  ในสมการที่ (4.14) สามารถหาได้จากสมการ

$$h(n) = \langle \varphi(t) | \sqrt{2}\varphi(2t-n) \rangle, \quad n \in \mathbb{Z} \quad (4.15)$$

เนื่องจาก  $V_j \subset V_{j+1}$  ดังนั้นจะปราศจากปริภูมิย่อย  $W_j$  ที่เป็นอโอนอร์มัลคอมพลิเมนต์ (Orthonormal Complement) ในปริภูมิย่อย  $V_{j+1}$  กล่าวคือ  $V_{j+1} = V_j \oplus W_j$  เช่นเดียวกับปริภูมิย่อย  $V_j$  ฟังก์ชันมูลฐานสำหรับปริภูมิย่อย  $W_j$  โดยสามารถแสดงด้วยฟังก์ชันมูลฐานต้นแบบ  $\psi(t)$  (เรียกว่า Wavelet Function) ของปริภูมิอ้างอิง  $W_0$  โดย

$$\psi_{j,k}(t) = 2^{j/2} \cdot \psi(2^j t - k), \quad j, k \in \mathbb{Z} \quad (4.16)$$

ฟังก์ชันมูลฐานที่เกิดขึ้นในปริภูมิย่อย  $W_j$  โดยจะมีคุณสมบัติของโอนอร์มัล กล่าวคือ

$$W_j = \text{span}_k \left\{ \psi_{j,k}(t) \right\}, \quad j, k \in Z \quad (4.17)$$

โดยที่ความสัมพันธ์ระหว่างฟังก์ชันมูลฐานในปริภูมิย่อ  $W_j$  ได้ฯแสดงโดย

$$\langle \psi_{j,k}(t) | \psi_{m,n}(t) \rangle = \delta_{j,m} \delta_{k,n}, \quad j, k, m, n \in Z \quad (4.18)$$

เนื่องจากปริภูมิ  $V_j$  และ  $W_j$  มีคุณสมบัติเป็นอ่อนน้อมปลิเมนต์ซึ่งกันและกัน ดังนั้นความสัมพันธ์ระหว่างฟังก์ชันมูลฐานในปริภูมิย่อ  $V_j$  และ  $W_j$  ได้คือ

$$\langle \varphi_{j,k}(t) | \psi_{m,n}(t) \rangle = 0, \quad j, k, m, n \in Z \quad (4.19)$$

เช่นเดียวกับ Scaling Function ถ้าสมมุติให้  $f(t) \in W_j$  และสามารถแสดงฟังก์ชัน  $f(t)$  ด้วยอนุกรมของ Wavelet Function ได้คือ

$$f(t) = \sum_n d_j(n) \cdot \psi_{j,n}(t), \quad j, n \in Z \quad (4.20)$$

เมื่อ  $d_j(n)$  คือ Detail Expansion Coefficients จากสมการที่ (4.10) และ (4.20) ทำให้สามารถหาค่าของ  $d_j(n)$  ได้จาก

$$d_j(n) = \langle f(t) | \psi_{j,n}(t) \rangle, \quad j, n \in Z \quad (4.21)$$

เนื่องจาก  $W_0 \subset V_1$  นั้นคือสามารถแสดง Wavelet Function  $\psi(t)$  ในรูปของการรวมเชิงเส้นของ  $\sqrt{2}\varphi(2t-n) \in V_1$  ได้คือ

$$\psi(t) = \sum_n g(n) \cdot \sqrt{2}\varphi(2t-n), \quad n \in Z, \quad g(n) \in l^2(Z) \quad (4.22)$$

ด้วยคุณสมบัติของอ่อนน้อมปลิเมนต์ในสมการที่ (4.10) ดังนั้น ค่าสัมประสิทธิ์  $g(n)$  ในสมการที่ (4.22) สามารถหาได้จากการ

$$g(n) = \langle \psi(t) | \sqrt{2}\varphi(2t-n) \rangle, \quad n \in Z \quad (4.23)$$

### 4.3 อนุกรมเวฟเล็ต

ถ้าพิจารณาให้  $f(t) \in L^2(R)$  และกำหนดให้ปริภูมิ  $L^2(R)$  ลูกแย克 (Decompose) ออกเป็น ปริภูมิย่อยถึงระดับ  $j$  แสดงโดยสมการ

$$L^2(R) = V_j \oplus W_j \oplus W_{j+1} \oplus \dots \oplus W_{-1} \oplus W_0 \oplus W_1 \oplus \dots, j \in Z \quad (4.24)$$

นั่นคือสัญญาณ  $f(t)$  จะประกอบไปด้วยฟังก์ชันมูลฐานของแต่ละปริภูมิย่อย ซึ่งสามารถแสดงด้วยสมการอนุกรมเวฟเล็ต (Wavelet Series Expansion) ได้คือ

$$f(t) = \sum_n c_j(n) \cdot \phi_{j,n}(n) + \sum_{m=j}^{\infty} \sum_n d_m(n) \cdot \psi_{m,n}(t) \quad (4.25)$$

เช่นเดียวกับสมการที่ (4.13) และ (4.21) Coarse และ Detail Expansion Coefficients สามารถหาได้จาก

$$c_j(n) = \langle f(t) | \varphi_{j,n}(t) \rangle, \quad j, n \in Z \quad (4.26)$$

$$d_j(n) = \langle f(t) | \psi_{j,n}(t) \rangle, \quad j, n \in Z \quad (4.27)$$

### 4.4 การวิเคราะห์สัญญาณเชิงเวลาเต็มหน่วยด้วยทฤษฎีเวฟเล็ต

ในการคำนวณทางปฏิบัติ สัญญาณจะถูกโปรเจกشن (Projection) ลงบนปริภูมิย่อยที่มีจำนวนจำกัด ซึ่งสามารถแสดงได้ในสมการ

$$V_0 \subset V_1 \subset V_2 \subset \dots \subset V_j \subset V_{j+1} \subset V_{j+2} \subset \dots \subset V_{J-2} \subset V_{J-1} \subset V_J \in L^2(R), \quad j, J \in Z \quad (3.28)$$

เมื่อพิจารณาให้ปริภูมิย่อย  $V_j$  โดยมีจำนวนฟังก์ชันมูลฐาน  $2^j$  ฟังก์ชัน ถ้าพิจารณาให้  $f(t) \in V_j$  และกำหนดให้ปริภูมิ  $V_j$  ลูกแยកออกเป็นปริภูมิย่อยถึงระดับ  $j$  แสดงโดยสมการ

$$V_J = V_j \oplus W_j \oplus W_{j+1} \oplus \dots \oplus W_{J-3} \oplus W_{J-2} \oplus W_{J-1}, \quad j < J, \quad j, J \in Z \quad (4.29)$$

นั่นคือสัญญาณ  $f(t)$  จะประกอบไปด้วยฟังก์ชันมูลฐานของแต่ละปริภูมิย่อย ซึ่งสามารถแสดงสมการอนุกรมเวฟเล็ตได้ใหม่คือ

$$f(t) = \sum_{n=0}^{2^j-1} c_j(n) \varphi_{j,n}(t) + \sum_{k=0}^{2^j-1} c_j(k) \varphi_{j,k}(t) + \sum_{m=j}^{J-1} \sum_{k=0}^{2^m-1} d_m(k) \cdot \psi_{m,n}(t) \quad (4.30)$$

การนำทฤษฎีเวฟเล็ตมาใช้ในการวิเคราะห์สัญญาณเชิงเวลาเต็มหน่วยสามารถทำได้โดยการกำหนดให้ Coarse Expansion Coefficients  $c_j(n)$  เป็นสัญญาณเชิงเวลาเต็มหน่วยที่ต้องการวิเคราะห์หรือประมวลผล ถ้ากำหนดให้  $x(n)$  เป็นสัญญาณเชิงเวลาเต็มหน่วยที่ได้จากการคิจิตซ์ (Digitized) สัญญาณเชิงเวลาต่อเนื่อง (Continuos-Time Signal)  $x(t)$  การวิเคราะห์สัญญาณเชิงเต็มหน่วย  $x(n)$  ด้วยทฤษฎีของเวฟเล็ตสามารถทำได้โดยการกำหนด

$$c_j(n) = x(n), \quad n = 0, 1, 2, \dots, 2^j - 1 \quad (4.31)$$

นั่นคือการวิเคราะห์สัญญาณเชิงเวลาเต็มหน่วยด้วยทฤษฎีเวฟเล็ตเป็นการคำนวณค่าของกลุ่มข้อมูลย่อย  $d_{j-1}(n), d_{j-2}(n), \dots, d_j(n)$  และ  $c_j(n)$  จากกลุ่มข้อมูล  $c_j(n)$  เพื่อใช้เป็นข้อมูลเพื่อการประมวลผลในกระบวนการอื่นๆต่อไปนั้นเอง ซึ่งเรียกวิธีการคำนวณนี้ว่าการแปลงเวฟเล็ตเต็มหน่วย (Discrete Wavelet Transform : DWT )

#### 4.5 การแปลงเวฟเล็ตเต็มหน่วย

พิจารณาสัญญาณ  $f(t) \in V_{j+1}$  ที่สามารถแสดงด้วยอนุกรมของ Scaling Function ในปริภูมิย่อย  $V_{j+1}$  ได้คือ

$$f(t) = \sum_n c_{j+1}(n) \varphi_{j+1,n}(t) \in V_{j+1}, \quad j, n \in \mathbb{Z} \quad (4.32)$$

จาก  $V_{j+1} = V_j \oplus W_j$  ดังนั้นสัญญาณ  $f(t) \in V_{j+1}$  สามารถแสดงด้วยอนุกรมของ Scaling และ Wavelet Function ในปริภูมิย่อย  $V_j$  และ  $W_j$  ได้โดยสมการ

$$f(t) = \sum_k c_j(k) \varphi_{j,k}(t) + \sum_k d_j(k) \cdot \psi_{j,k}(t), \quad j, k \in \mathbb{Z} \quad (4.33)$$

พิจารณา Scaling Function จากสมการที่ (4.8) แบบ (4.14) สามารถแสดงได้ว่า

$$\begin{aligned} \varphi_{j,k}(t) &= 2^{j/2} \varphi(2^j t - k) \\ &= 2^{j/2} \sum_v h(v) \cdot \sqrt{2} \varphi(2^{j+1} t - 2h - v), \quad j, k, v \in \mathbb{Z} \end{aligned} \quad (4.34)$$

แทนค่า  $2k + v$  ด้วย  $n$  จะได้ว่า

$$\begin{aligned}\varphi_{j,k}(t) &= \sum_n h(n-2k) \cdot 2^{(j+1)/2} \varphi(2^{j+1}t-n) \\ &= \sum_n h(n-2k) \cdot \varphi_{j+1,n}(t)\end{aligned}\quad (4.35)$$

ชั้นเดียวกันสำหรับ Wavelet Function

$$\psi_{j,k}(t) = \sum_n g(n-2k) \cdot \varphi_{j+1,n}(t) \quad (4.36)$$

จากสมการที่ (4.13) และ (4.35) สามารถคำนวณ Coarse Expansion Coefficients ได้โดยสมการ

$$\begin{aligned}c_j(k) &= \langle f(t) | \varphi_{j,k}(t) \rangle \\ &= \sum_n h(n-2k) \cdot \langle f(t) | \varphi_{j+1,n}(t) \rangle \\ &= \sum_n h(n-2k) \cdot c_{j+1}(n)\end{aligned}\quad (4.37)$$

ชั้นเดียวกันสำหรับ Detail Expansion Coefficients

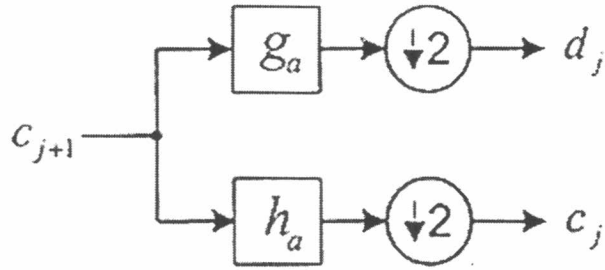
$$d_j(k) = \sum_n g(n-2k) \cdot c_{j+1}(n) \quad (4.38)$$

จากสมการที่ (4.37) และ (4.38) สามารถแสดงให้อยู่ในรูปของ convolution (Convolution) ผลตอบสนองอิมพัลส์ได้เป็น

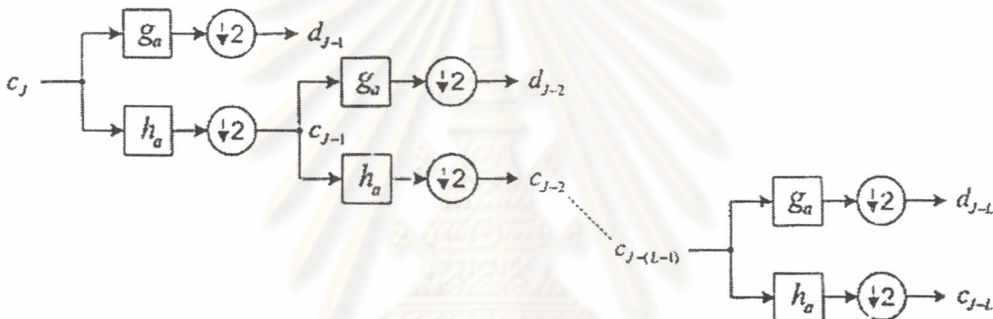
$$c_j(k) = h_a(n) * c_{j+1}(n) |_{n=2k} \quad (4.39)$$

$$d_j(k) = g_a(n) * c_{j+1}(n) |_{n=2k} \quad (4.40)$$

โดยผลตอบสนองอิมพัลส์  $h_a(n)$  และ  $g_a(n)$  คือตัวกรองวิเคราะห์ (Analysis Filter) สมการที่ (4.39) และ (4.40) สามารถแสดงด้วย Two-Channel Analysis Filter Bank ในรูปที่ 4.1 และการแปลงเวฟเล็ตเติ่มหน่วย  $L$  ระดับในรูปของ Octave Band Analysis Filter Bank และในรูปที่ 4.2



รูปที่ 4.1 Two-Channel Analysis Filter Bank ที่ใช้ในการคำนวณ  $c_j(n)$  และ  $d_j(n)$  จาก  $c_{j+1}(n)$



รูปที่ 4.2 การแปลงเวฟเล็ตเติมหน่วย  $L$  ระดับในรูปของ Octave Band Analysis Filter Bank

#### 4.6 การแปลงเวฟเล็ตเติมหน่วย

กลุ่มข้อมูลบอยซึ่งประกอบด้วย  $d_{j-1}(n), d_{j-2}(n), \dots, d_{j-L}(n)$  และ  $c_{j-L}(n)$  ที่ได้จากการแปลงเวฟเล็ตเติมหน่วยของสัญญาณ สามารถที่จะสร้างกลับคืนได้อย่างสมบูรณ์ (Perfect Reconstruction : PR) โดยการแปลงกลับเวฟเล็ตเติมหน่วย (Inverse Discrete Wavelet Transform : IDWT) จาก  $V_1 = V_0 \oplus W_0$  สามารถแสดงได้ว่า

$$\sqrt{2}\varphi(2t) = \sum_v h_s(v) \cdot \varphi(t-v) + \sum_v g_s(v) \cdot \psi(t-v), \quad v \in Z \quad (4.41)$$

เมื่อผลตอบสนองอินพลัส  $h_s(n)$  และ  $g_s(n)$  ก็คือ ตัวกรองสังเคราะห์ (Synthesis Filter) จากสมการที่ (4.8) และ (4.41) สามารถแสดงได้ว่า

$$\begin{aligned}\varphi_{j+1,n}(t) &= 2^{(j+1)/2} \cdot \varphi(2^{j+1}t - n) \\ &= \sum_v h_s(v) \cdot 2^{j/2} \varphi(2^j t - n/2 - v) + \sum_v g_s(v) \cdot 2^{j/2} \psi(2^j t - n/2 - v)\end{aligned}\quad (4.42)$$

แทนผลตอบสนองอิมพัลส์  $h_s(v)$  และ  $g_s(v)$  ด้วย  $h_s(-2v)$  และ  $g_s(-2v)$  ตามลำดับและแทนค่า  $n+2v$  ด้วย  $2k$  จะได้

$$\begin{aligned}\varphi_{j+1,n}(t) &= \sum_k h_s(n-2k) \cdot 2^{j/2} \varphi(2^j t - k) + \sum_v g_s(n-2k) \cdot 2^{j/2} \psi(2^j t - k) \\ &= \sum_k h_s(n-2k) \cdot \varphi_{j,k}(t) + \sum_v g_s(n-2k) \cdot \psi_{j,k}(t)\end{aligned}\quad (4.43)$$

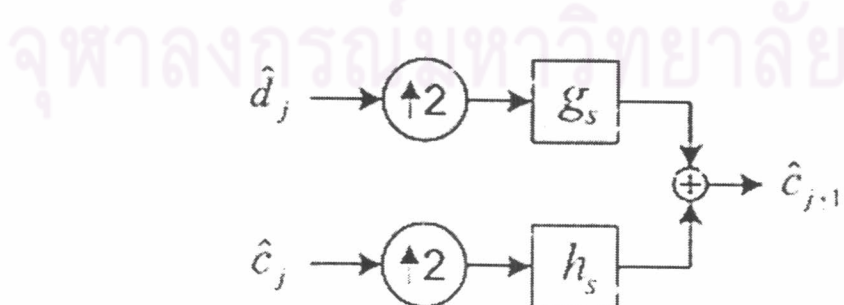
จากสมการที่ (4.13) และ (4.43) สามารถแสดงการคำนวณค่า  $c_{j+1}(n)$  จาก  $c_j(n)$  และ  $d_j(n)$  ได้จากสมการ

$$\begin{aligned}c_{j+1}(n) &= \langle f(t) | \varphi_{j+1,n}(t) \rangle \\ &= \sum_k h_s(n-2k) \cdot \langle f(t) | \varphi_{j,n}(t) \rangle + \sum_k g_s(n-2k) \cdot \langle f(t) | \psi_{j,n}(t) \rangle\end{aligned}\quad (4.44)$$

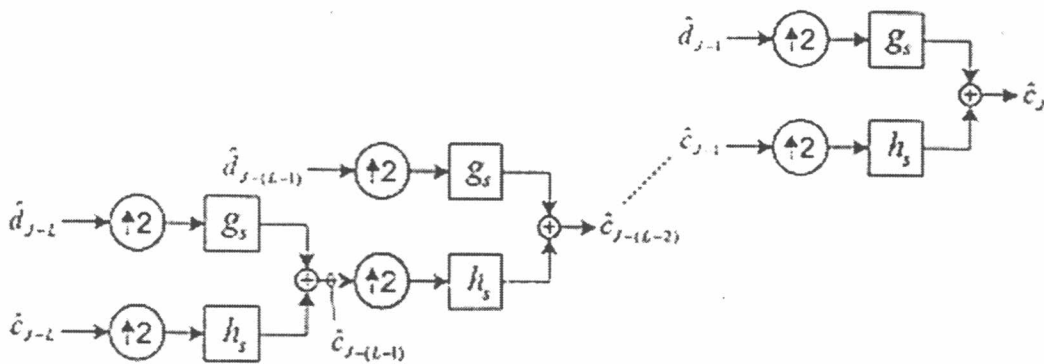
ถ้าพิจารณาให้  $\hat{d}_j(n)$  และ  $\hat{c}_j(n)$  เป็นข้อมูลของ  $c_j(n)$  และ  $d_j(n)$  ที่ผ่านการประมวลผลใน Transform Domain สมการที่ (4.44) สามารถแสดงใหม่ได้เป็น

$$\hat{c}_{j+1}(n) = \sum_k h_s(n-2k) \cdot \hat{c}_j(k) + \sum_k g_s(n-2k) \cdot \hat{d}_j(k)\quad (4.45)$$

ซึ่งสามารถแสดงด้วย Two-Channel Synthesis Filter Bank ในรูปที่ 3.3 และการแปลงกลับเวฟเล็ตเติมหน่วย  $L$  ระดับในรูปของ Octave Band Synthesis Filter Bank ได้ในรูปที่ 4.4



รูปที่ 4.3 Two-Channel Synthesis Filter Bank ที่ใช้ในการคำนวณ  $\hat{c}_{j+1}(n)$  และ  $\hat{c}_j(n)$  จาก  $\hat{d}_j(n)$



รูปที่ 4.4 การแปลงเวฟเล็ตเติมหน่วย  $L$  ระดับในรูปของ Octave Band Synthesis Filter Bank

#### 4.7 ตระกูลของออโรนอร์มัลเวฟเล็ต

ตระกูลของออโรนอร์มัลเวฟเล็ต(Orthonormal Wavelet) ที่สำคัญได้แก่ Daubechies, Symmlet และ Coiflet เป็นต้น แต่ละตระกูลจะมีฟังก์ชันมูลฐาน (Scaling และ Wavelet Basis Function) ที่มีรูปร่างลักษณะแตกต่างกันไป เช่น ตระกูลของ Daubechies จะมีฟังก์ชันมูลฐานในลักษณะของ Asymmetric ตระกูลของ Symmlet จะมีฟังก์ชันมูลฐานในลักษณะของ Least Asymmetric และตระกูลของ Coiflet จะมีฟังก์ชันมูลฐานในลักษณะของ Nearly Symmetric เป็นต้น นอกจากนี้ แต่ละตระกูลยังสามารถแบ่งได้ตามความราบรื่น(Smooth)ของฟังก์ชันมูลฐานซึ่งกำหนดโดยค่าของ Number of Vanishing Moments (NVM) ท้ายชื่อตระกูล (Daubechies 4,6,8,...,20 , Symmlet 4,5,6,...,10 และ Coiflet 1,2,...,5) ลักษณะของฟังก์ชันมูลฐานที่เลือกใช้งานจะมีความราบรื่นมากขึ้นเมื่อค่า NVM มากขึ้น ตัวอย่างฟังก์ชันมูลฐานของออโรนอร์มัลเวฟเล็ต ทั้ง Scaling Basis Function (เรียกอีกอย่างว่า Father Wavelet Basis Function) และ Wavelet Basis Function (เรียกอีกอย่างว่า Mother Wavelet Basis Function )

ในการเลือกชนิดของเวฟเล็ตสามารถทำได้โดยการกำหนดค่าผลตอบสนองอิมพัลส์(Impulse Response)  $h_s(n)$  ที่จะนำไปใช้กับสมการที่ (4.45) สำหรับผลตอบสนองอิมพัลส์  $g_s(n)$ ,  $h_a(n)$  และ  $g_a(n)$  จากสมการที่ (4.45) สมการที่ (4.39) และสมการที่ (4.40) สามารถหาได้จากสมการที่ (4.46) ถึงสมการที่ (4.48)

$$g_s(n) = (-1)h_s(1-n), \quad n \in Z \quad (4.46)$$

$$h_a(n) = h_s(-n), \quad n \in Z \quad (4.47)$$

$$g_a(n) = g_s(-n), \quad n \in Z \quad (4.48)$$

ผลตอบสนองอิมพัลส์ทั้งหมดสอดคล้องกับคุณสมบัติของออโรนอร์มัลเวฟเล็ต ซึ่งแสดงโดยสมการ

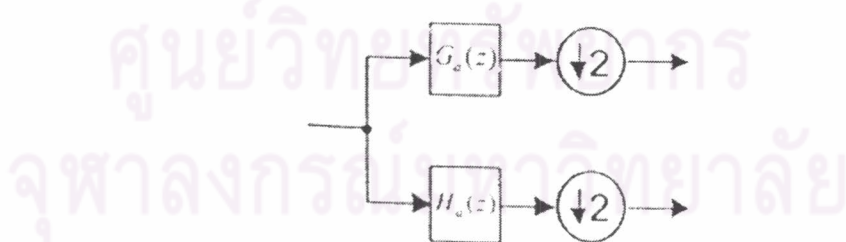
ที่ (4.49) และ (4.50)

$$\langle h_s(n-2k) | h_s(n-2l) \rangle = \langle g_s(n-2k) | g_s(n-2l) \rangle = \delta_{kl}, \quad k, l, n \in Z \quad (4.49)$$

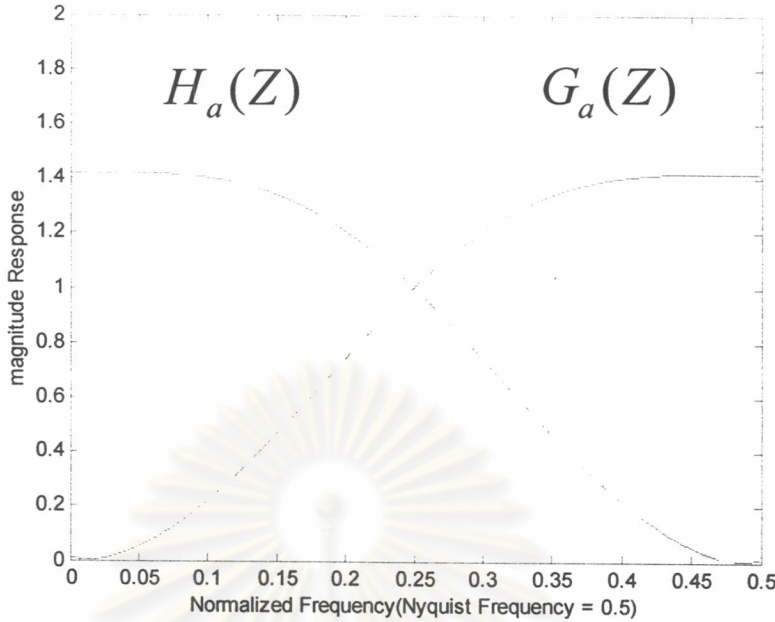
$$\langle h_s(n-2k) | g_s(n-2l) \rangle = \langle h_a(n-2k) | g_a(n-2l) \rangle = 0, \quad k, l, n \in Z \quad (4.50)$$

#### 4.8 ผลตอบสนองเมื่อความถี่ของ Octave Band Wavelet Filter Bank

การนำทฤษฎีเวฟเล็ตมาใช้ในการวิเคราะห์สัญญาณเต็มหน่วงก็คือ การพิจารณาให้สัญญาณเต็มหน่วงที่ต้องการวิเคราะห์นั้นคือกลุ่มสัมประสิทธิ์ Scaling Function ที่ระดับความความละเอียดใดๆ แล้วทำการแยกกลุ่มสัมประสิทธิ์นั้นๆ ออกเป็นกลุ่มสัมประสิทธิ์ของ Wavelet Function ที่ระดับความละเอียดต่างๆ และกลุ่มสัมประสิทธิ์ของ Scaling Function ที่มีความละเอียดน้อยลง ขบวนการดังกล่าวสามารถแสดงให้อยู่ในรูปของตัวกรองเชิงเลข (Digital Filter) แบบ Octave Band Analysis Filter Bank ในรูปที่ 4.2 เมื่อผลตอบสนองอินพัลส์  $h_a(n)$  และ  $g_a(n)$  แสดงในรูปของ Z-Transform ได้ด้วย  $H_a(z)$  และ  $G_a(z)$  ตามลำดับ จากรูปที่ 3.5 แสดงตัวอย่างของ Two-Channel Analysis Filter Bank ของตัวกรองแบบ Daubechies-4 เมื่อวิเคราะห์ผลตอบสนองความถี่  $H_a(z)$  จะมีลักษณะเป็นตัวกรองผ่านความถี่ต่ำ (Low pass Filter) และ  $G_a(z)$  จะมีลักษณะเป็นตัวกรองผ่านความถี่สูง (High Pass Filter) โดยตัวกรองทั้งสองจะมีจุดตัดความถี่ (Cut-Off Frequency) ที่ตำแหน่งเดียวกันคือ 0.25 (เมื่อ Nyquist Frequency คือ 0.5) สำหรับผลตอบสนองอินพัลส์ของอิโอนอร์มัลเวฟเล็ตชนิดอื่นๆ ก็จะมีลักษณะคล้ายคลึงกัน จะต่างกันเพียงความกว้างช่วง Transition Band ซึ่งจะขึ้นอยู่กับอันดับหรือจำนวน Tap Delay ของตัวกรอง FIR ตัวกรองที่มีอันดับหรือจำนวน Tap Delay สูงกว่าจะมีช่วง Transition Band ที่แคบกว่าหรือให้ลักษณะการกรองความถี่ที่คมกว่า



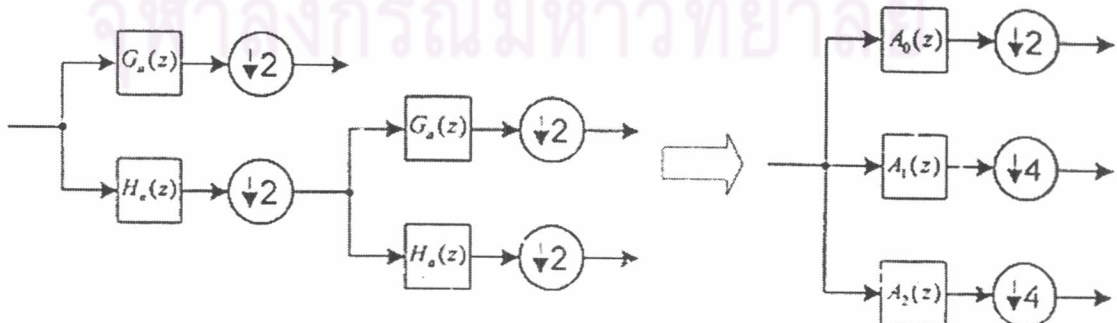
รูปที่ 4.5 รูปแบบสมมูลของ Octave Band Analysis Filter Bank 1 ระดับ



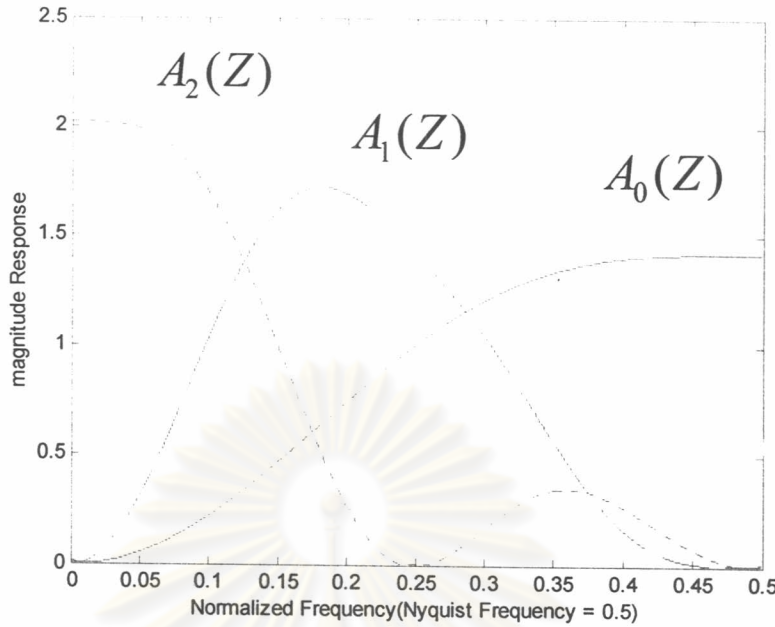
รูปที่ 4.6 ผลตอบสนองความถี่ของตัวกรองที่มีผลตอบสนองอินพัลส์  $h_a(n)$  และ  $g_a(n)$ แบบ Daubechies-4

เมื่อพิจารณารูปแบบสมมูลย์ของ Octave Band Analysis Bank 2 ระดับในรูปที่ 4.6 ซึ่งมีผลตอบสนองอินพัลส์ใหม่ในสมการที่ (4.51) จากผลตอบสนองความถี่ในรูปที่ 3.10 จะเห็นว่า Octave Band Analysis Bank 2 ระดับเป็นการแบ่งครึ่งช่วงความถี่  $-0.25$  จากระดับที่แล้วออกเป็น 2 ช่วง คือ  $0-0.125$  และ  $0.125-0.25$  เมื่อร่วมกับความถี่ช่วงเดิม  $0.25-0.5$  จึงมีทั้งหมด 3 ช่วงความถี่

$$\begin{aligned} A_0(z) &= G_a(z) \\ A_1(z) &= H_a(z)G_a(z^2) \\ A_2(z) &= H_a(z)H_a(z^2) \end{aligned} \quad (4.51)$$



รูปที่ 4.7 รูปแบบสมมูลย์ของ Octave Band Analysis Filter Bank 2 ระดับ

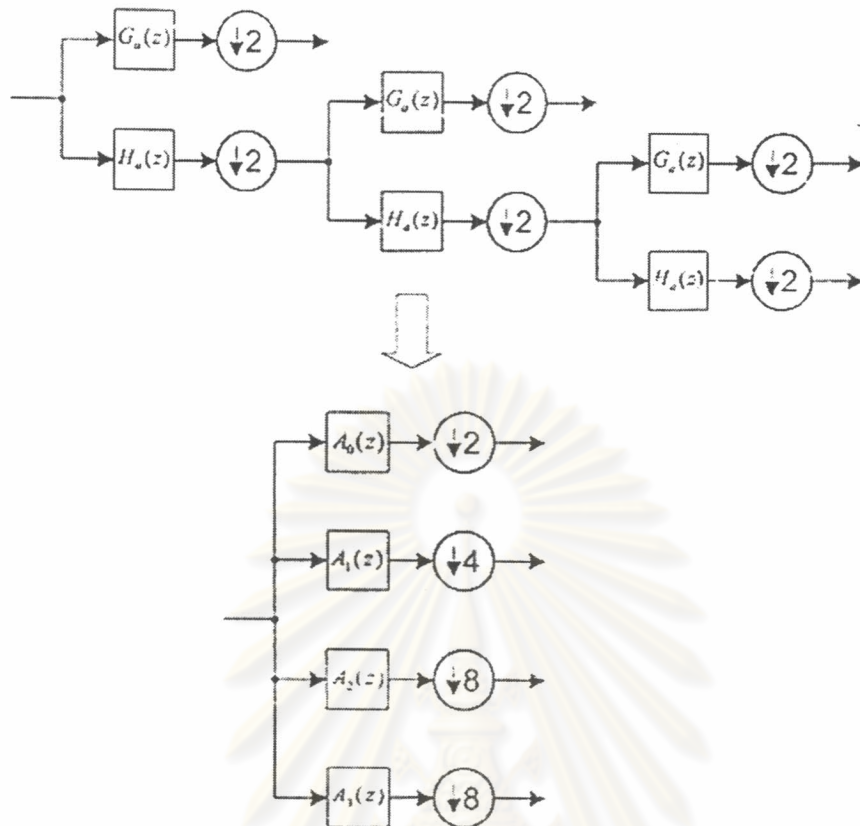


รูปที่ 4.8 ผลตอบสนองความถี่ของ Octave Band Analysis Filter Bank 2 โดยใช้ตัวกรองแบบ Daubechies-4

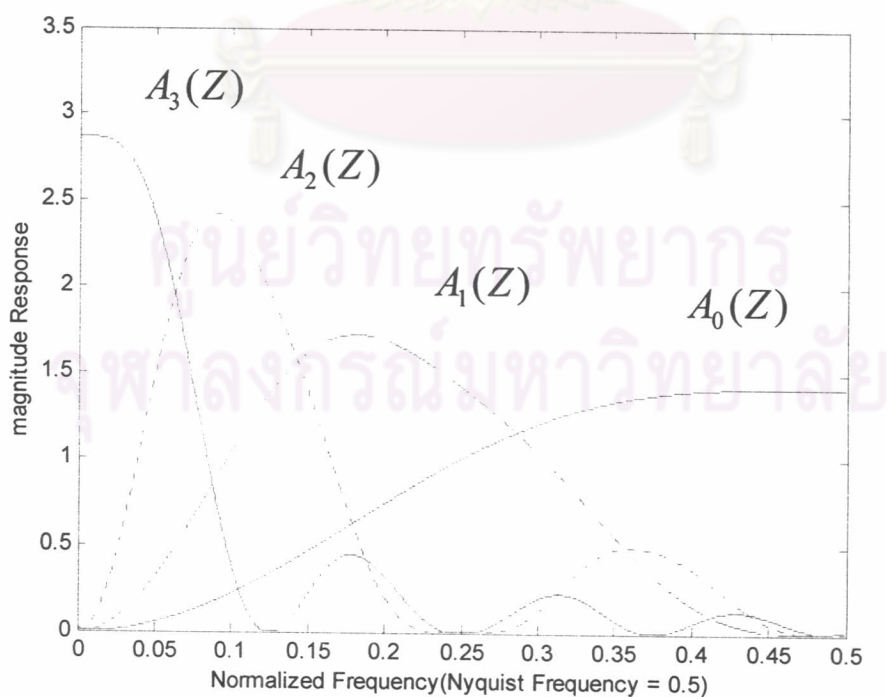
เช่นเดียวกัน รูปแบบสมมูลย์ของ Octave Band Analysis Filter Bank 3 ระดับ แสดงในรูปที่ 3.9 ซึ่งมีผลตอบสนองอินพัลส์ใหม่ในสมการที่ (4.52) จากผลตอบสนองความถี่ในรูปที่ 4.12 จะเห็นว่า Octave Band Analysis Filter Bank 3 ระดับ เป็นการแบ่งครึ่งช่วงความถี่ 0-0.125 จากระดับที่แล้วออกเป็น 2 ช่วงคือ 0-0.0625 และ 0.0625-0.125 เมื่อรวมกับช่วงความถี่เดิมคือ 0.125-0.25 และ 0.25-0.5 จึงมีทั้งหมด 4 ช่วงความถี่ สำหรับระดับต่อๆ ไปก็มีลักษณะเช่นเดียวกันจะเห็นว่าการแปลงเวฟเลตเติมหน่วยเป็นการแยกข้อมูลหรือสัญญาณที่ต้องวิเคราะห์ออกเป็นหลายช่วงความถี่เพื่อทำการประมวลผลกลุ่มข้อมูลที่สัมพันธ์กับช่วงความถี่นั้นๆ อย่างอิสระนั่นเอง

$$\begin{aligned}
 A_0(Z) &= G_a(Z) \\
 A_1(Z) &= H_a(Z)G_a(Z^2) \\
 A_2(Z) &= H_a(Z)H_a(Z^2)G_a(Z^4) \\
 A_3(Z) &= H_a(Z)H_a(Z^2)H_a(Z^4)
 \end{aligned} \tag{4.52}$$

ตัวอย่างการหาผลตอบสนองความถี่ของ Octave Band Analysis Filter Bank สามารถแสดงด้วยการโปรแกรมในภาคผนวก



รูปที่ 4.9 รูปแบบสมมูลของ Octave Band Analysis Filter Bank 3 ระดับ



รูปที่ 4.10 ผลตอบสนองความถี่ของ Octave Band Analysis Filter Bank 3 ระดับ โดยใช้ตัวกรองแบบ Daubechies-4